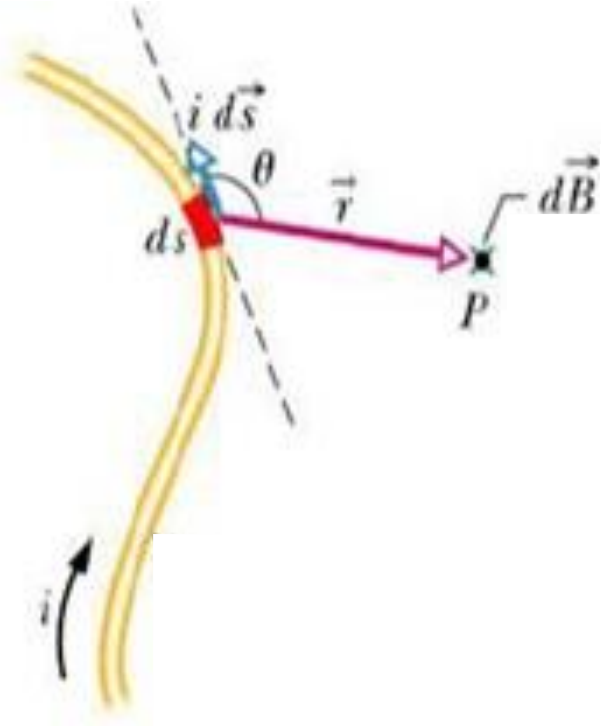


Campo Magnetostático

Profa. Hilde Harb Buzzá

Campo produzido por uma Corrente

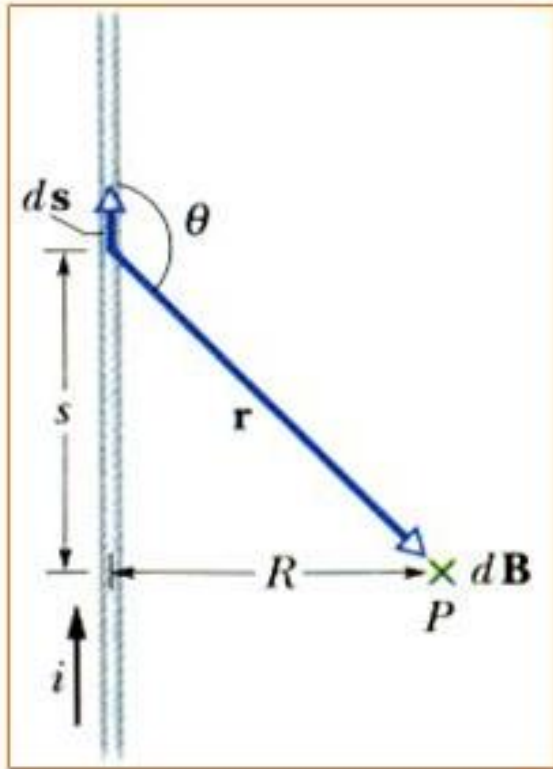


$$d\vec{B} = \frac{\mu_0}{4\pi} \frac{id\vec{s} \times \hat{r}}{r^2}$$

Lei de Biot-Savart

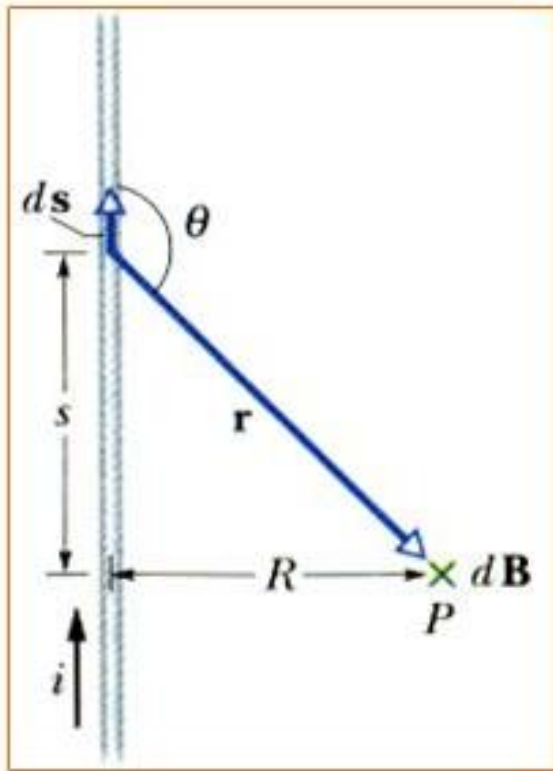
Campo produzido por uma Corrente

Em um fio longo, retilíneo



Campo produzido por uma Corrente

Em um fio longo, retilíneo



$$dB = \frac{\mu_0 i ds \cdot \text{sen}\theta}{4\pi r^2} \quad \text{Lei de Biot-Savart}$$

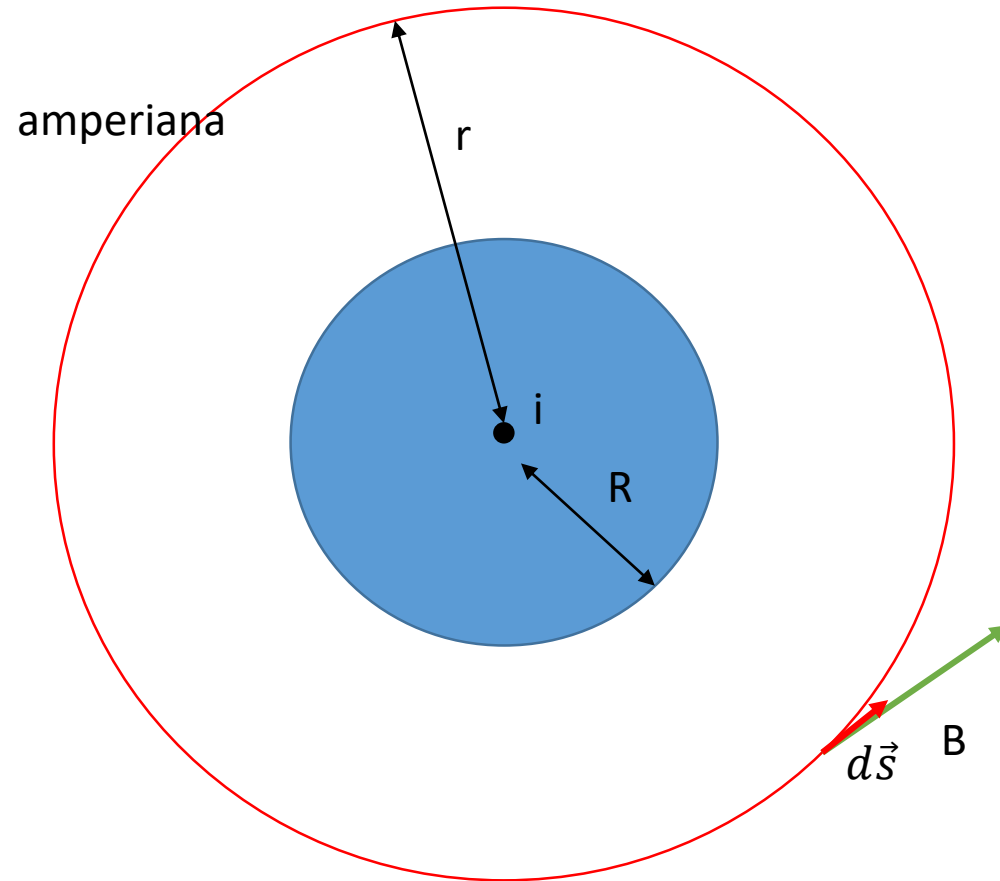
$$B = \int_{-\infty}^{+\infty} dB = 2 \int_0^{+\infty} \frac{\mu_0 i ds \cdot \text{sen}\theta}{4\pi r^2}$$

$$B = 2 \frac{i\mu_0}{4\pi} \int_0^{\infty} \frac{\text{sen}\theta \cdot ds}{r^2}$$

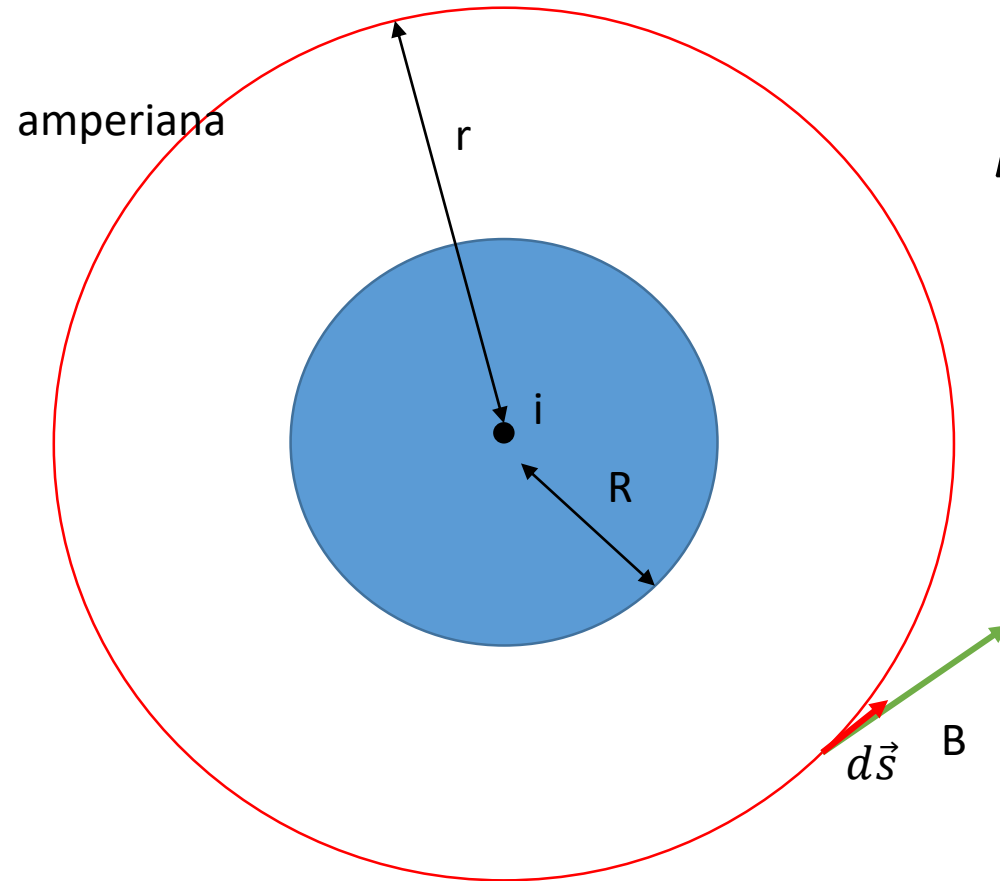
$$B = 2 \frac{i\mu_0}{4\pi R} = \frac{i\mu_0}{2\pi R}$$

Aplicando a Lei de Ampère

$$\mu_0 i_{env} = \oint \vec{B} d\vec{s}$$



Aplicando a Lei de Ampère



$$\mu_0 i_{env} = \oint \vec{B} d\vec{s}$$

$$\mu_0 i_{env} = \oint B \cos\theta ds$$

$$\mu_0 i_{env} = \oint B ds$$

$$\mu_0 i_{env} = B \oint ds$$

$$\mu_0 i_{env} = B 2\pi r$$

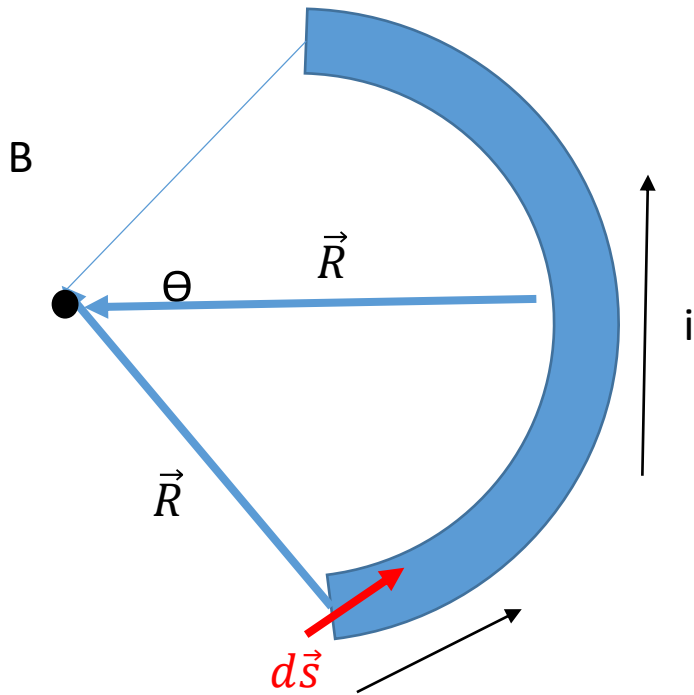
$$B = \frac{\mu_0 i}{2\pi r}$$

Medida do campo magnético de um fio retilíneo

Animação!

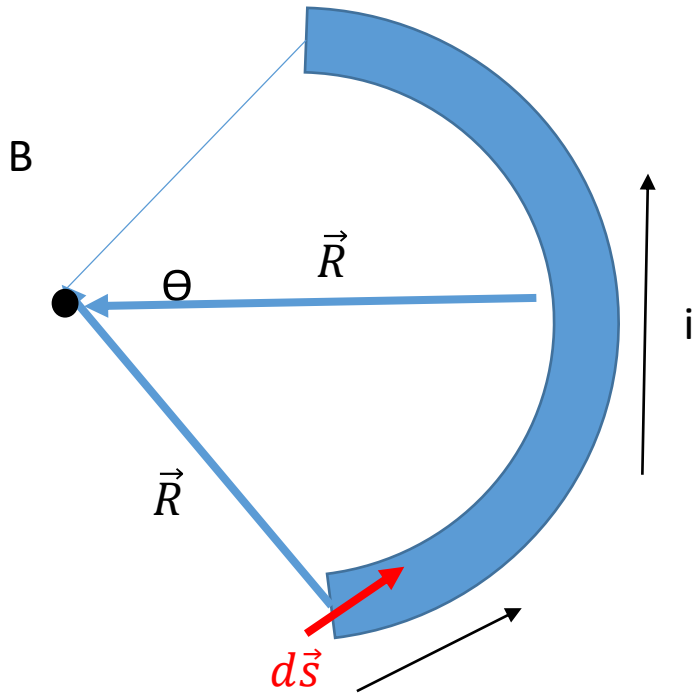
Campo produzido por uma Corrente

Em um arco de circunferência



Campo produzido por uma Corrente

Em um arco de circunferência



$$dB = \frac{\mu_0}{4\pi} \frac{ids \cdot \text{sen}\theta}{r^2}$$

$$dB = \frac{\mu_0}{4\pi} \frac{ids \cdot \text{sen}90}{r^2}$$

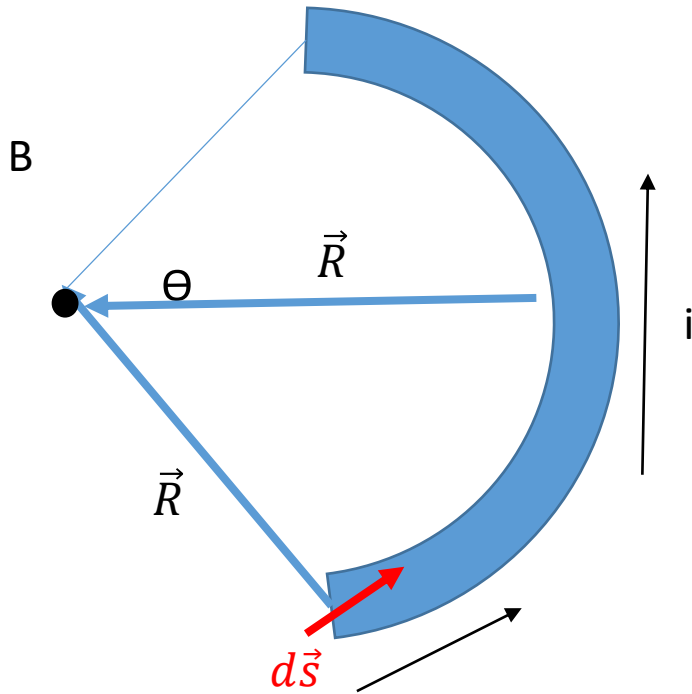
$$dB = \frac{\mu_0}{4\pi} \frac{ids}{R^2}$$

$$B = \frac{\mu_0 i}{4\pi R} \theta$$

$$B = \int dB = \int \frac{\mu_0}{4\pi} \frac{ids}{R^2} = \frac{\mu_0 i}{4\pi R^2} \int ds = \frac{\mu_0 i}{4\pi R^2} \int_0^\theta R d\theta$$

Campo produzido por uma Corrente

Em um arco de circunferência



$$dB = \frac{\mu_0}{4\pi} \frac{ids \cdot \text{sen}\theta}{r^2}$$

$$dB = \frac{\mu_0}{4\pi} \frac{ids \cdot \text{sen}90}{r^2}$$

$$dB = \frac{\mu_0}{4\pi} \frac{ids}{R^2}$$

$$B = \frac{\mu_0 i}{2R}$$

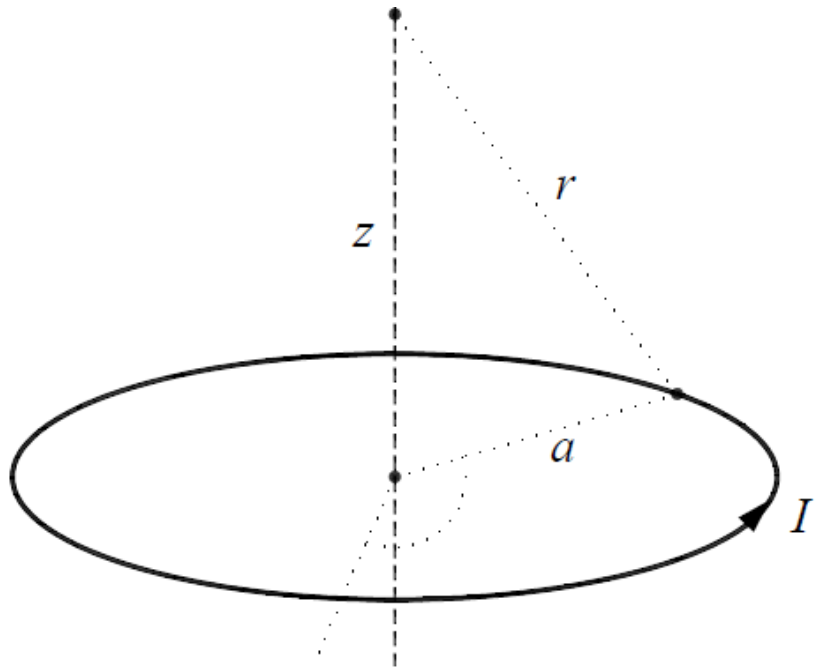
↑

$$B = \int B = \int \frac{\mu_0}{4\pi} \frac{ids}{R^2} = \frac{\mu_0 i}{4\pi R^2} \int ds = \frac{\mu_0 i}{4\pi R^2} \int_0^{2\pi} R d\theta$$

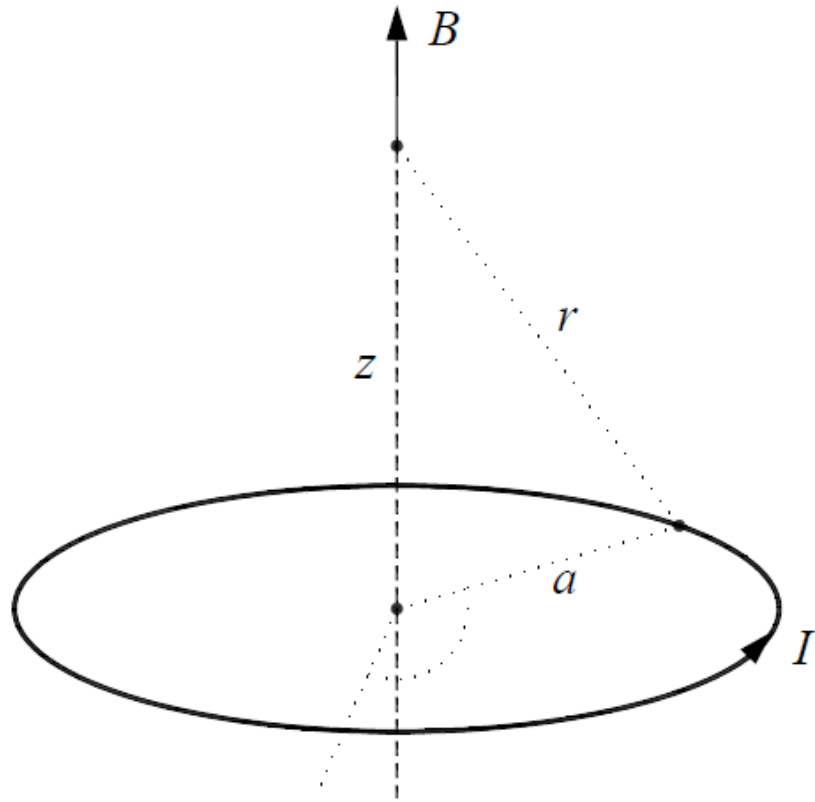
Campo produzido na Espira

Campo produzido na Espira

$$dB = \frac{\mu_0}{4\pi} \frac{ids \cdot \text{sen}\theta}{r^2}$$



Campo produzido na Espira



$$dB = \frac{\mu_0}{4\pi} \frac{ids \cdot \text{sen}\theta}{r^2}$$

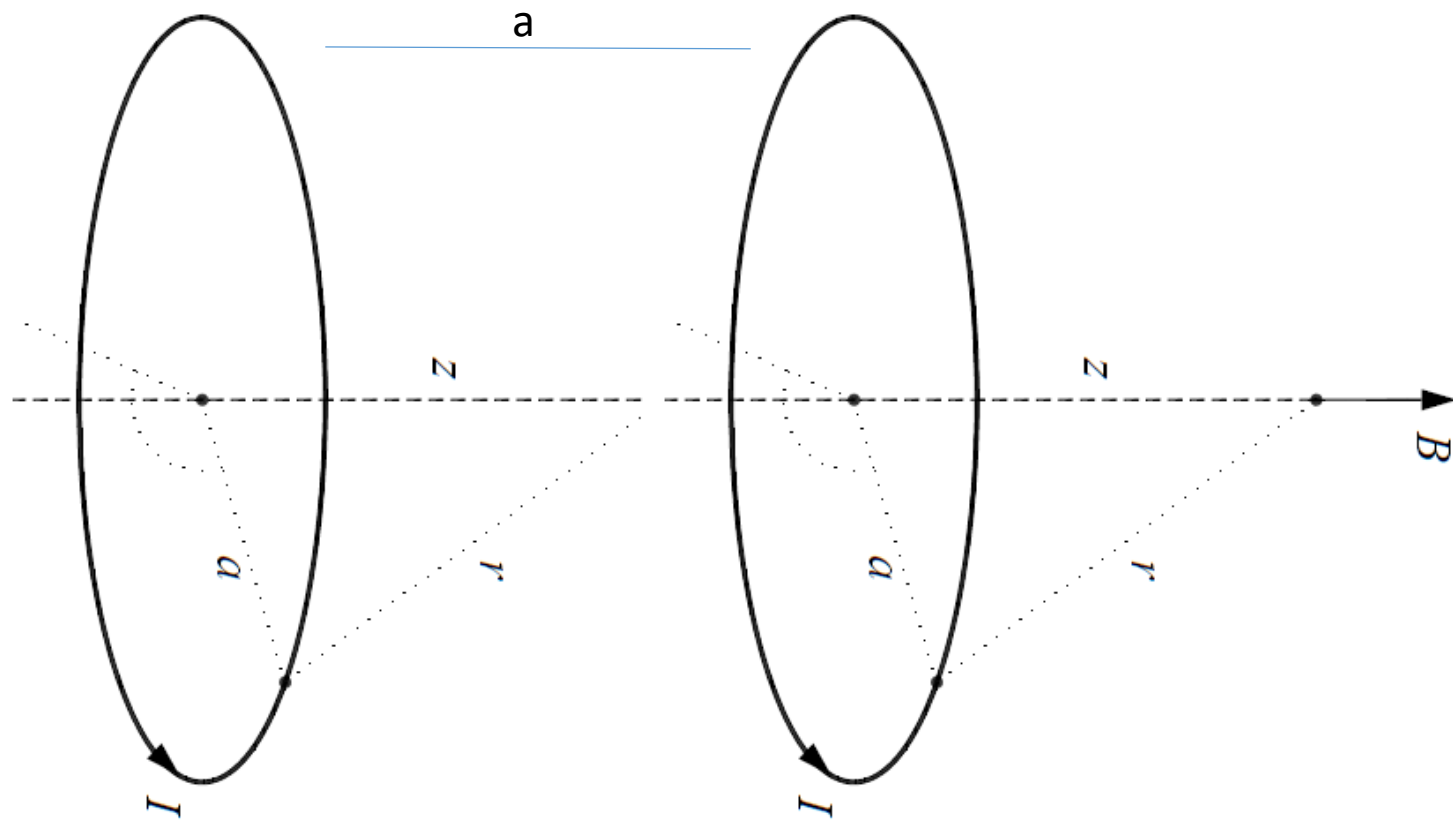
$$\vec{B}(z) = \frac{i\mu_0}{2} \frac{a^2}{(z^2 + a^2)^{3/2}} \hat{z}$$

Medida do campo magnético de uma bobina circular

Phet Simulador

Bobina Helmholtz

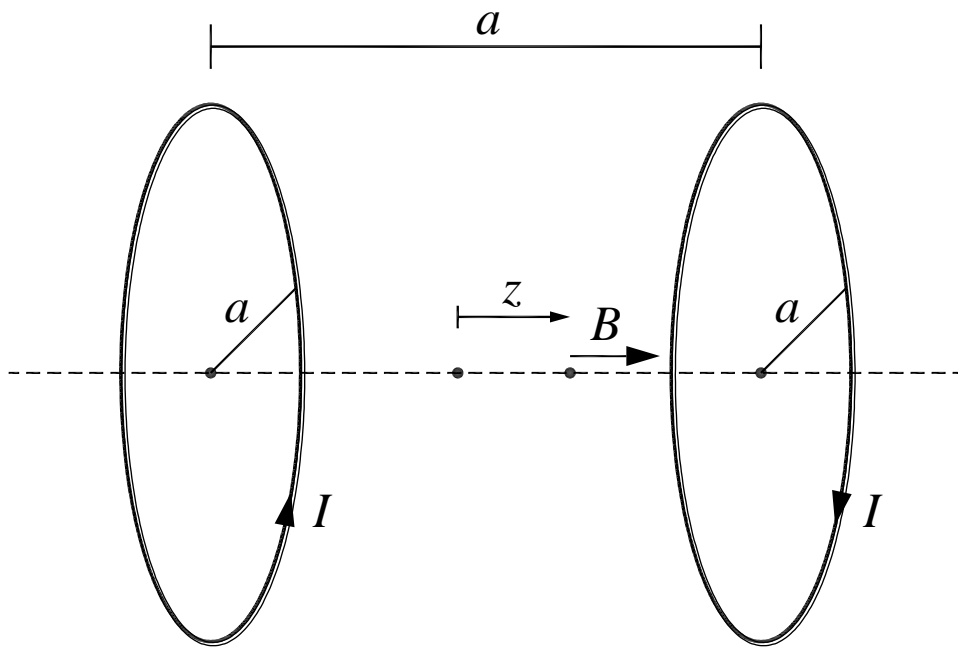
Bobina Helmholtz



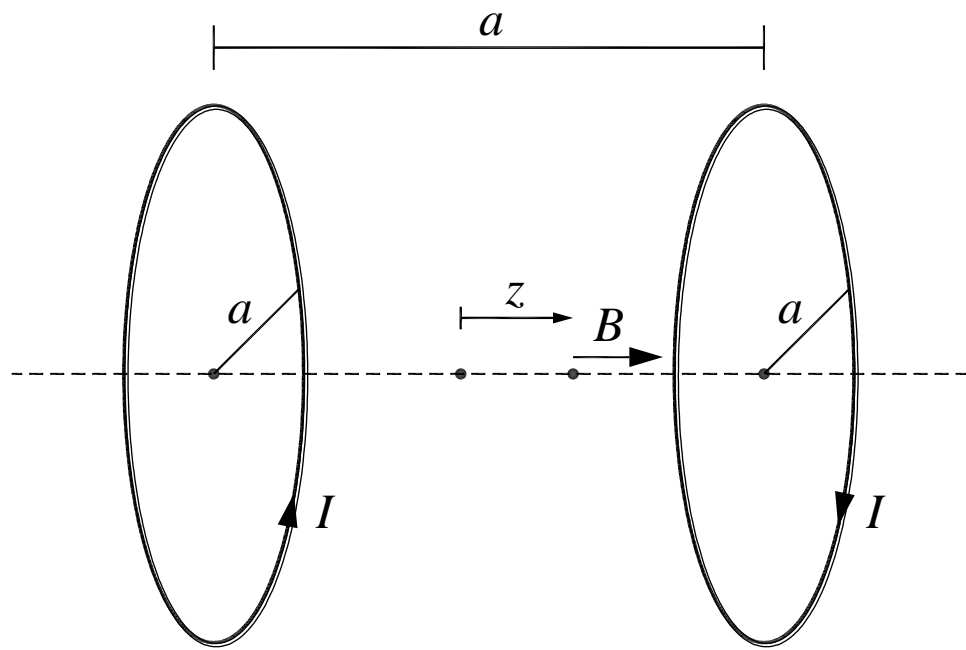
Bobina Helmholtz

1 bobina:

$$\vec{B}(z) = \frac{i\mu_0}{2} \frac{a^2}{(z^2 + a^2)^{3/2}} \hat{z}$$



Bobina Helmholtz

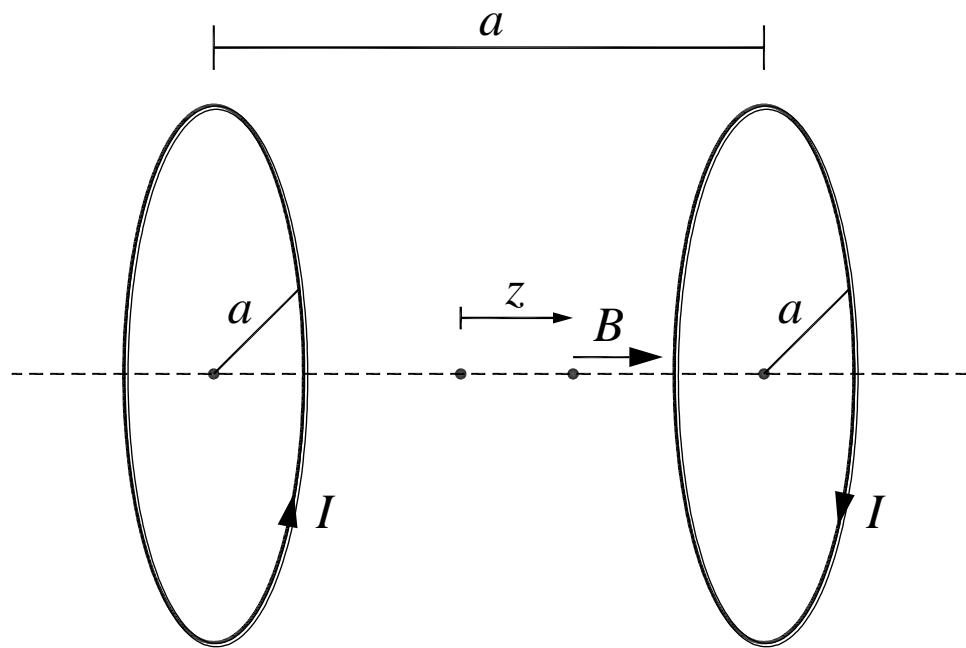


1 bobina:

$$\vec{B}(z) = \frac{i\mu_0}{2} \frac{a^2}{(z^2 + a^2)^{3/2}} \hat{z}$$

$$\vec{B}_1(z) = \frac{i\mu_0}{2} \frac{a^2}{\left((z - \frac{a}{2})^2 + a^2 \right)^{3/2}} \hat{z}$$

Bobina Helmholtz



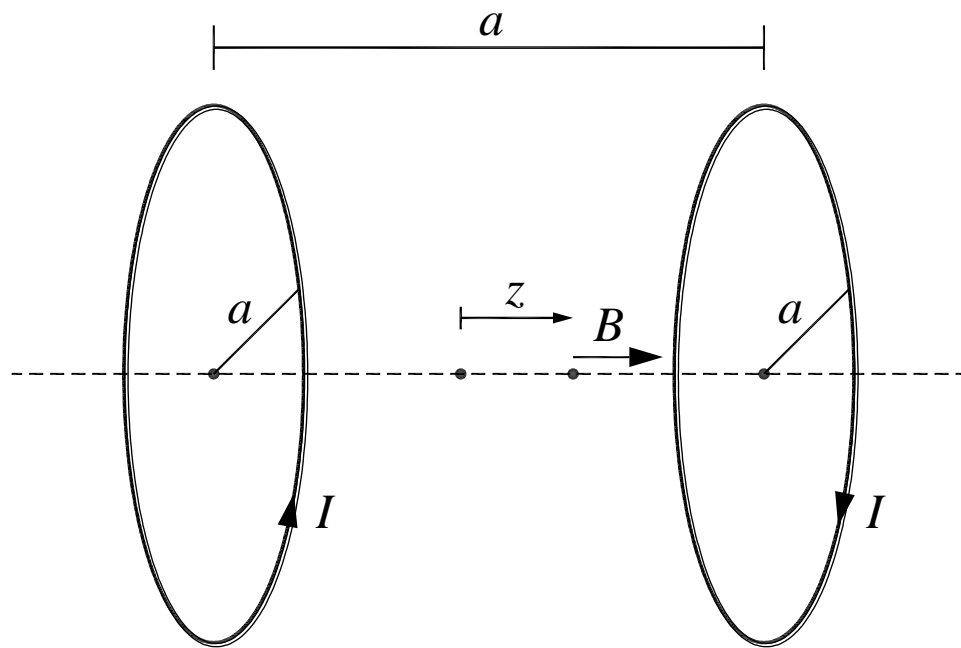
1 bobina:

$$\vec{B}(z) = \frac{i\mu_0}{2} \frac{a^2}{(z^2 + a^2)^{3/2}} \hat{z}$$

$$\vec{B}_1(z) = \frac{i\mu_0}{2} \frac{a^2}{\left((z - \frac{a}{2})^2 + a^2 \right)^{3/2}} \hat{z}$$

$$\vec{B}_2(z) = \frac{i\mu_0}{2} \frac{a^2}{\left((z + \frac{a}{2})^2 + a^2 \right)^{3/2}} \hat{z}$$

Bobina Helmholtz



$$\vec{B}(z) = \vec{B}_1(z) + \vec{B}_2(z)$$

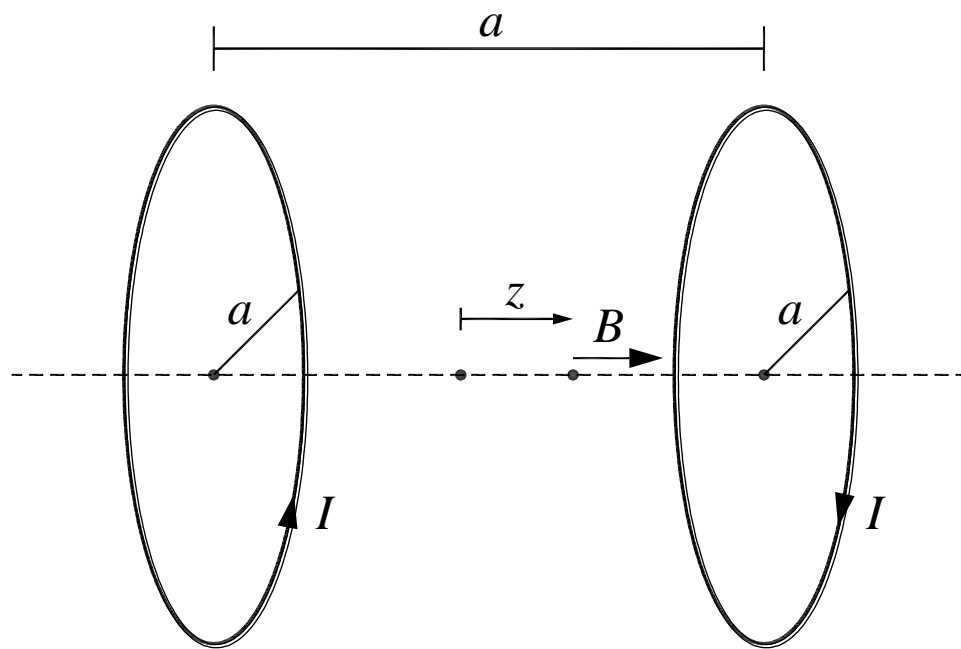
1 bobina:

$$\vec{B}(z) = \frac{i\mu_0}{2} \frac{a^2}{(z^2 + a^2)^{3/2}} \hat{z}$$

$$\vec{B}_1(z) = \frac{i\mu_0}{2} \frac{a^2}{\left((z - \frac{a}{2})^2 + a^2 \right)^{3/2}} \hat{z}$$

$$\vec{B}_2(z) = \frac{i\mu_0}{2} \frac{a^2}{\left((z + \frac{a}{2})^2 + a^2 \right)^{3/2}} \hat{z}$$

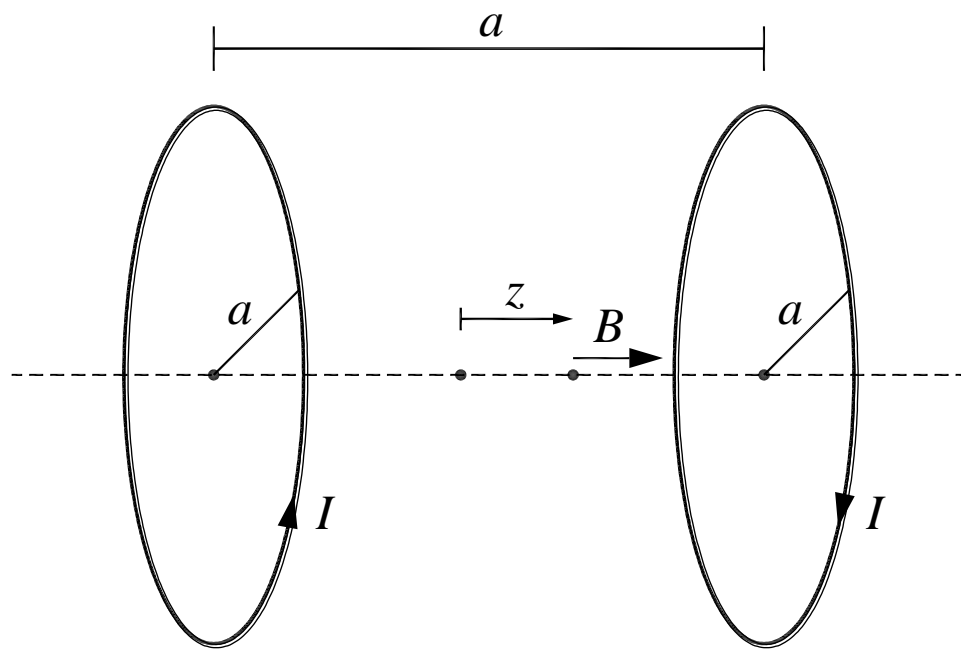
Bobina Helmholtz



$$\vec{B}(z) = \vec{B}_1(z) + \vec{B}_2(z)$$

$$\vec{B}(z) = \frac{\mu_0 I a^2}{2} \left(\frac{1}{((z - a/2)^2 + a^2)^{3/2}} - \frac{1}{((z + a/2)^2 + a^2)^{3/2}} \right) \hat{z}$$

Bobina Helmholtz



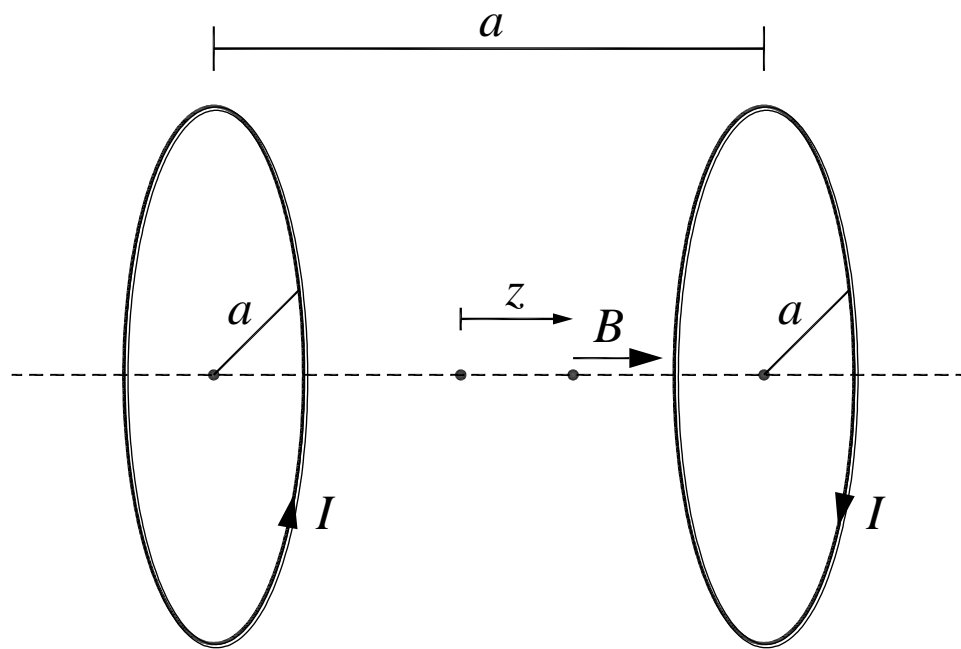
$$\vec{B}(z) = \vec{B}_1(z) + \vec{B}_2(z)$$

$$\vec{B}(z) = \frac{\mu_0 I a^2}{2} \left(\frac{1}{((z - a/2)^2 + a^2)^{3/2}} - \frac{1}{((z + a/2)^2 + a^2)^{3/2}} \right) \hat{z}$$

Para $z=0$:

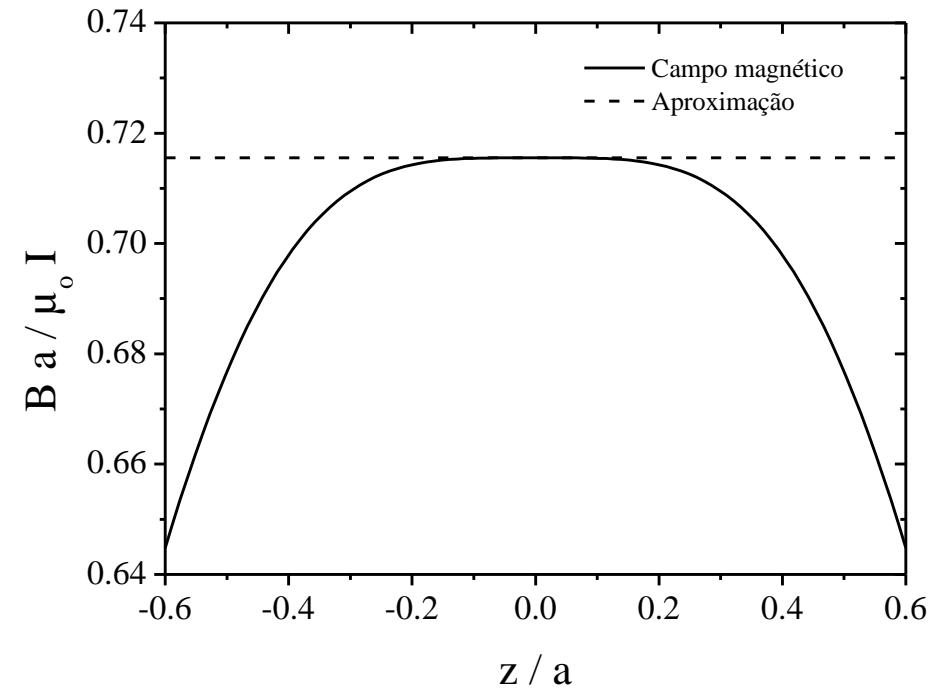
$$\vec{B}_{ap} = \frac{8}{5^{3/2}} \cdot \frac{\mu_0 I}{a} \hat{z} \approx 0,715 \cdot \frac{\mu_0 I}{a} \hat{z}$$

Bobina Helmholtz

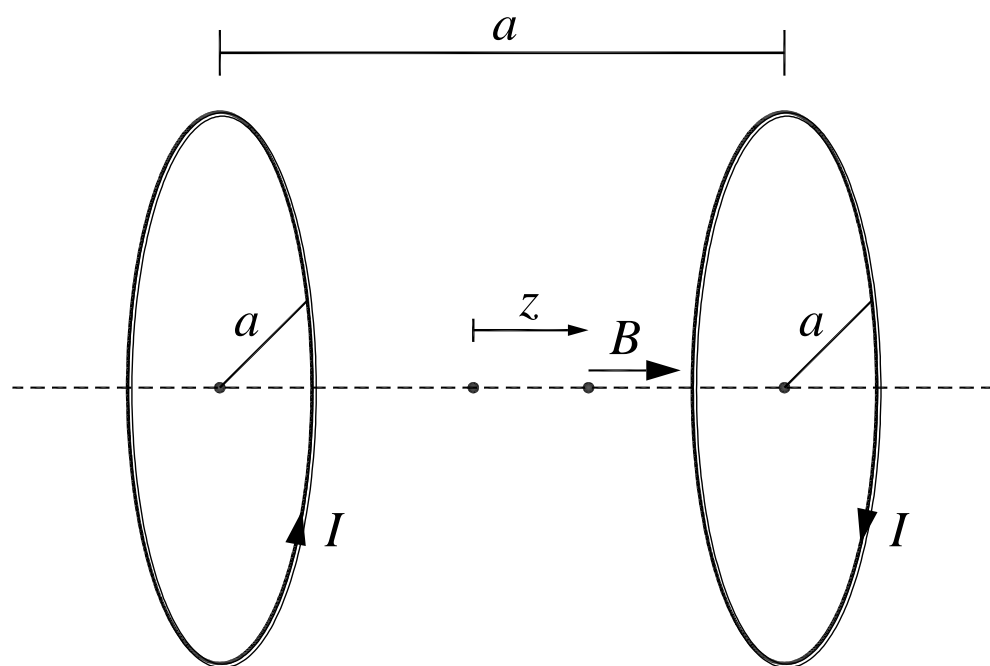


$$\vec{B}(z) = \vec{B}_1(z) + \vec{B}_2(z)$$

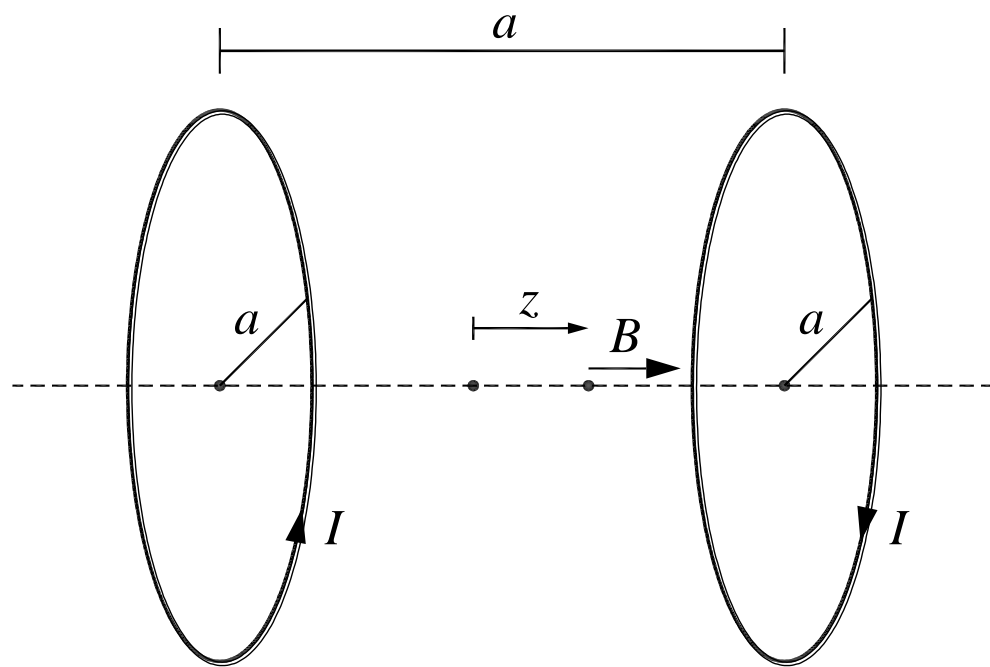
$$\vec{B}(z) = \frac{\mu_0 I a^2}{2} \left(\frac{1}{((z - a/2)^2 + a^2)^{3/2}} - \frac{1}{((z + a/2)^2 + a^2)^{3/2}} \right) \hat{z}$$



Bobina Anti-Helmholtz

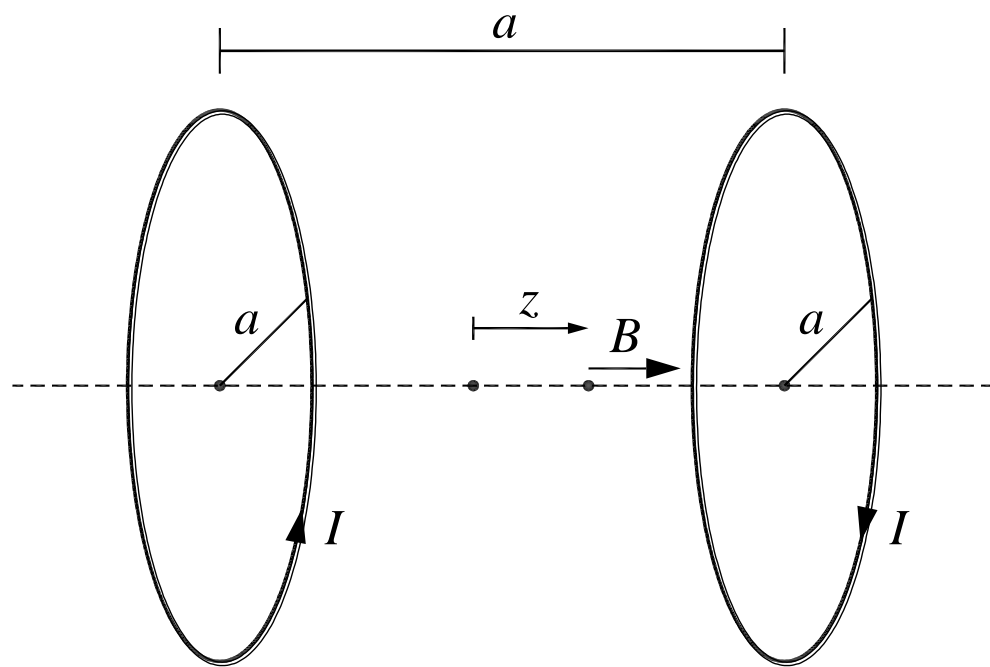


Bobina Anti-Helmholtz



$$\vec{B}(z) = \frac{\mu_0 I a^2}{2} \left(\frac{1}{((z - a/2)^2 + a^2)^{3/2}} - \frac{1}{((z + a/2)^2 + a^2)^{3/2}} \right) \hat{z}$$

Bobina Anti-Helmholtz

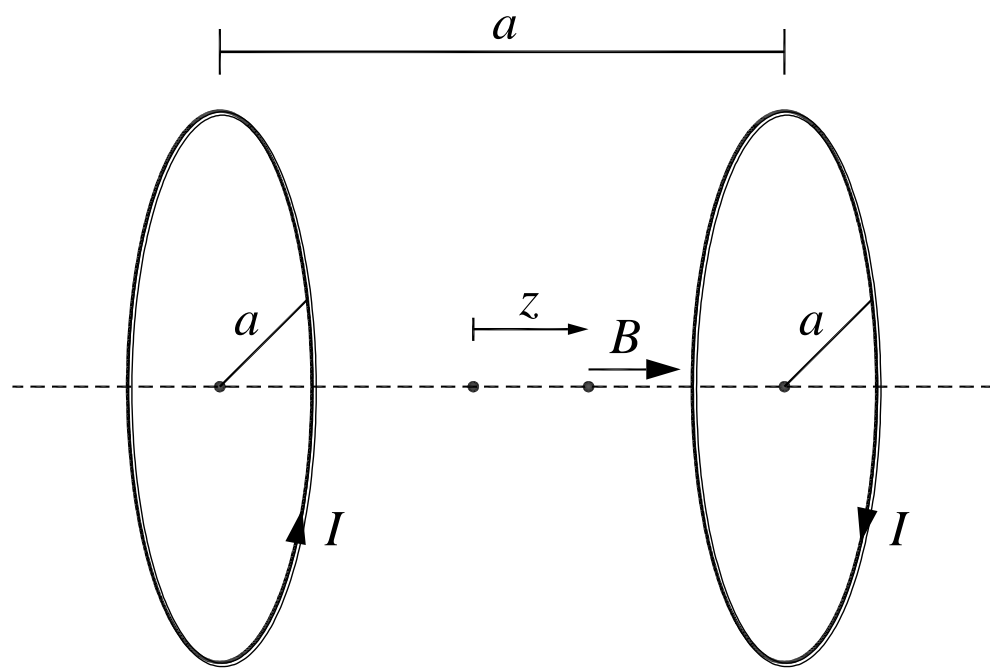


$$\vec{B}(z) = \frac{\mu_0 I a^2}{2} \left(\frac{1}{((z - a/2)^2 + a^2)^{3/2}} - \frac{1}{((z + a/2)^2 + a^2)^{3/2}} \right) \hat{z}$$

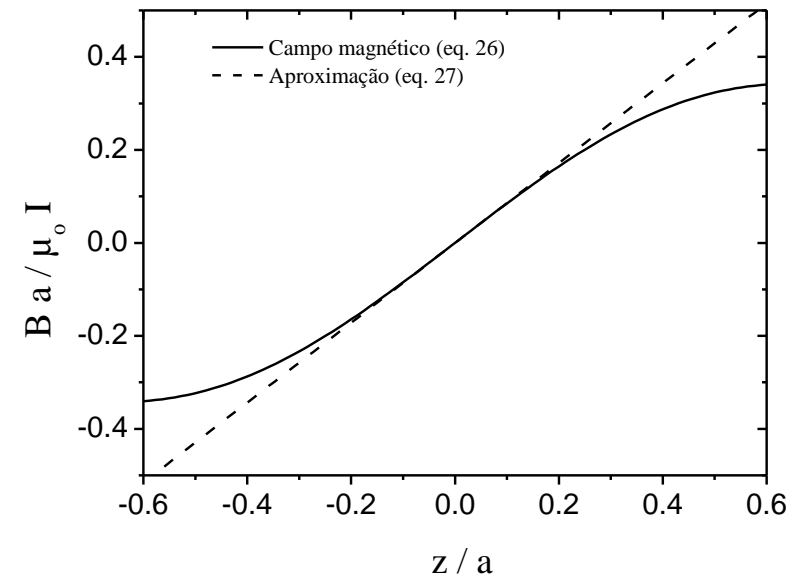
Para $z=0$:

$$\vec{B}_{ap}(z) = \frac{48}{5^{5/2}} \cdot \frac{\mu_0 I}{a^2} z \cdot \hat{z} \approx 0,859 \cdot \frac{\mu_0 I}{a^2} z \cdot \hat{z}$$

Bobina Anti-Helmholtz

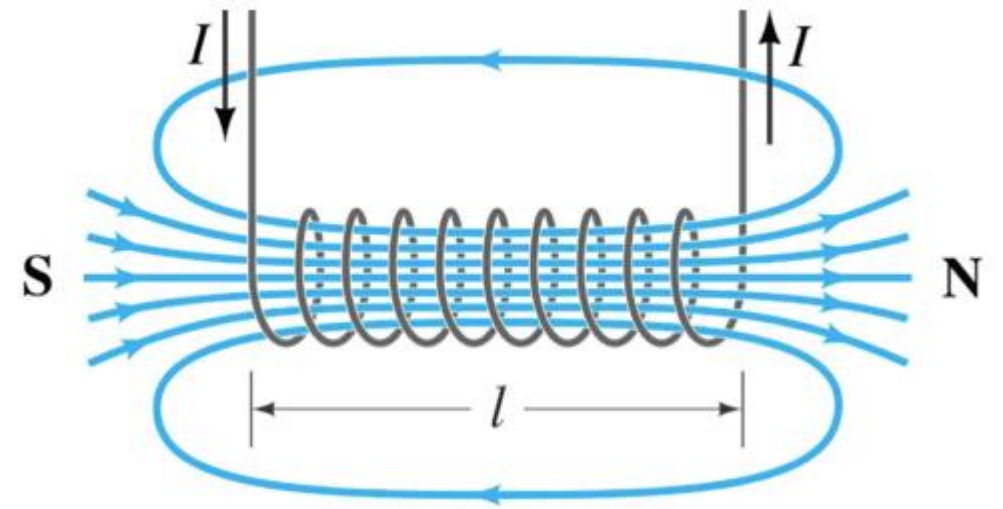


$$\vec{B}(z) = \frac{\mu_0 I a^2}{2} \left(\frac{1}{((z - a/2)^2 + a^2)^{3/2}} - \frac{1}{((z + a/2)^2 + a^2)^{3/2}} \right) \hat{z}$$



Campo no Solenóide

$$\mu_0 i_{env} = \oint \vec{B} d\vec{s}$$



Campo no Solenóide

$$\mu_0 i_{env} = \oint \vec{B} d\vec{s}$$

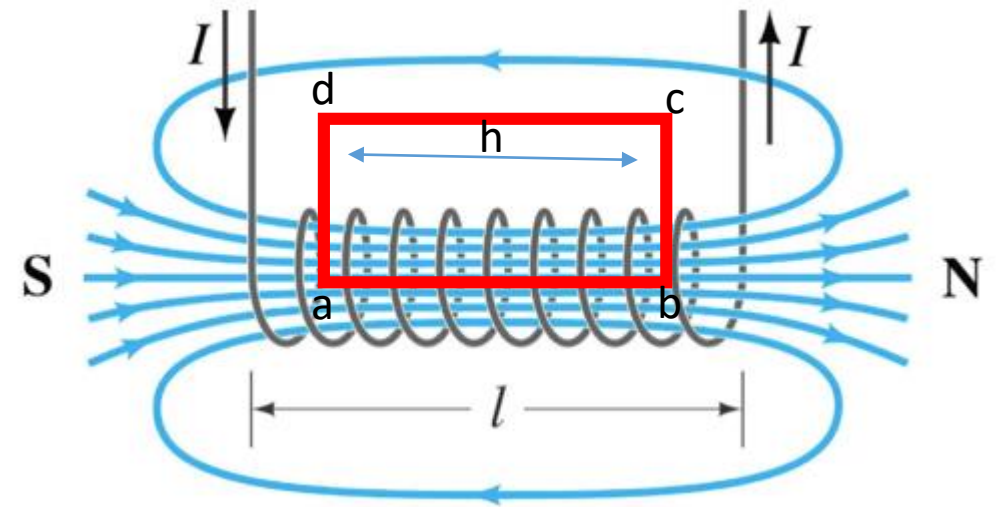
$$\oint \vec{B} d\vec{s} = \int_a^b \vec{B} d\vec{s} + \int_b^c \vec{B} d\vec{s} + \int_c^d \vec{B} d\vec{s} + \int_d^a \vec{B} d\vec{s}$$

$$\oint \vec{B} d\vec{s} = Bh + 0 + 0 + 0$$

$$\oint \vec{B} d\vec{s} = Bh$$

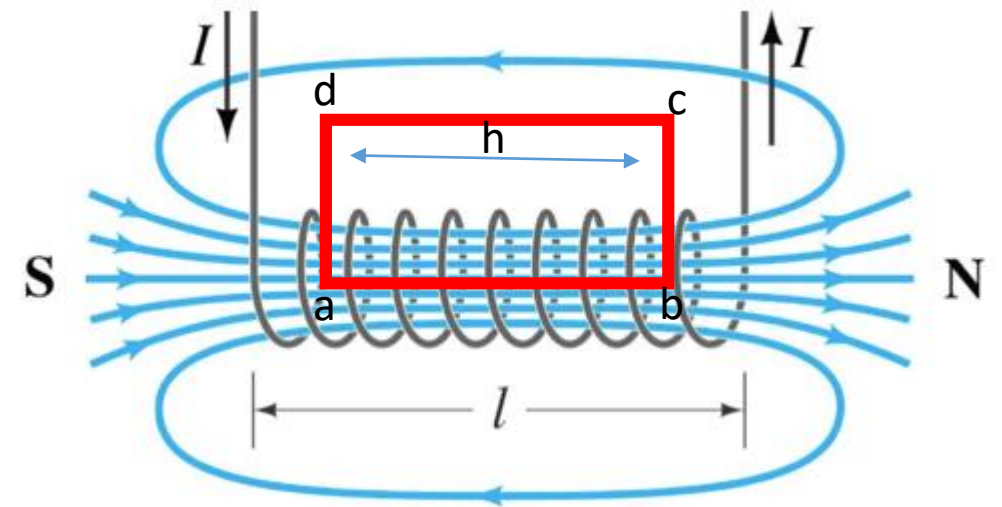
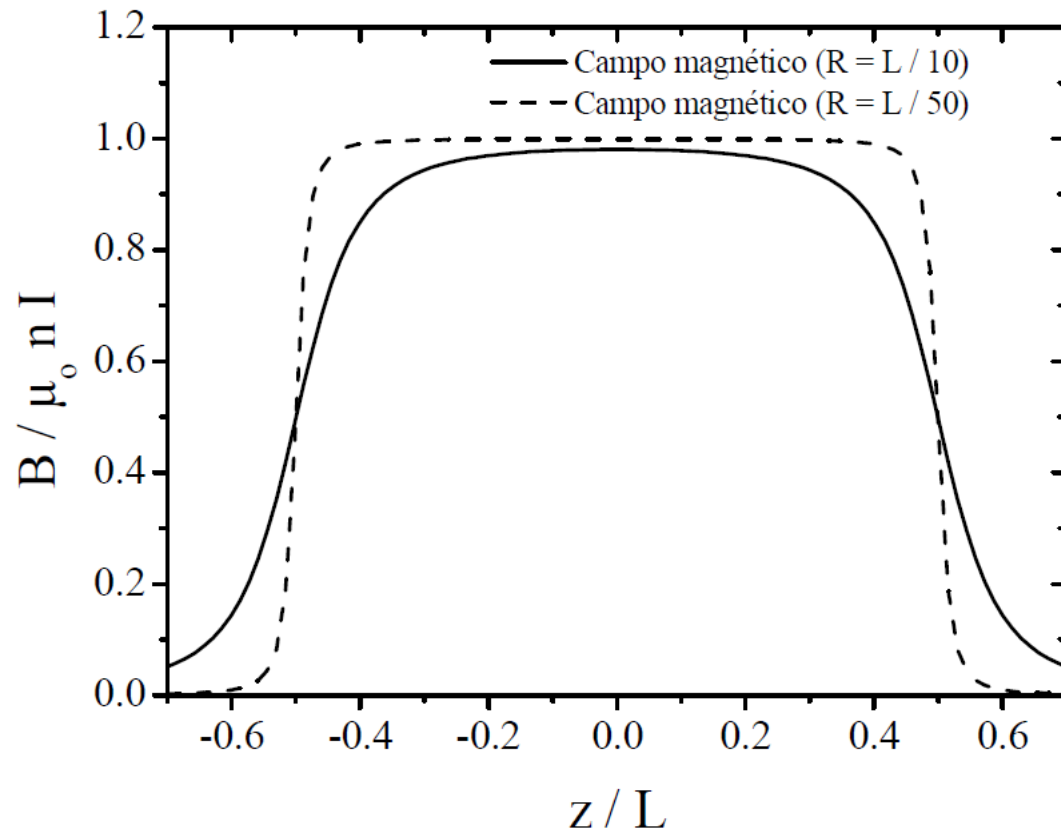
$$\mu_0 i_{env} = Bh \rightarrow \mu_0 [i(nh)] = Bh \rightarrow B = \mu_0 in$$

Número de espiras/comprimento



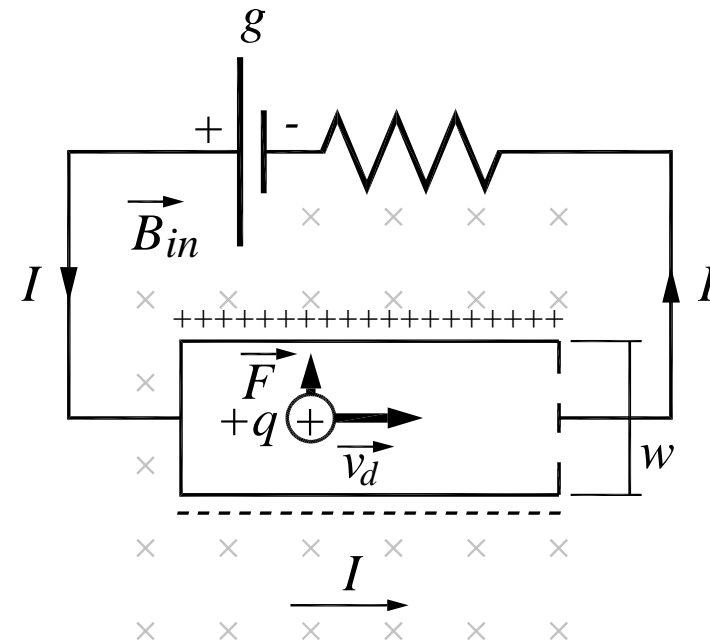
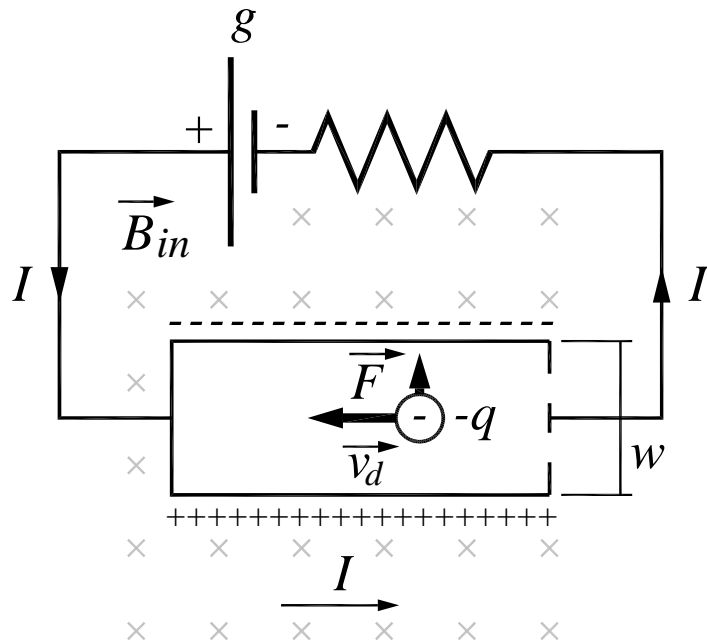
Campo no Solenóide – a prática

$$B = \mu_0 i n$$



Efeito Hall

$$\vec{F}_B = q\vec{v} \times \vec{B}$$



O efeito Hall

Quantificando o efeito Hall:

$$F_{el} = F_B$$

$$eE = ev_d B$$

Lembrando: $v_d = \frac{J}{ne} = \frac{i}{neA}$

$J \rightarrow$ densidade de corrente (i/A)

$A \rightarrow$ área da seção

$n \rightarrow$ portadores/volume \rightarrow concentração de portadores

$$E = \frac{i}{neA} B \rightarrow n = \frac{iB}{EeA}$$

$$n = \frac{iB}{Ee(l.d)} \rightarrow n = \frac{iB}{Ve(l)}$$

O efeito Hall

Quantificando o efeito Hall:

$$F_{el} = F_B$$

$$eE = ev_d B$$

Lembrando: $v_d = \frac{J}{ne} = \frac{i}{neA}$

$J \rightarrow$ densidade de corrente (i/A)

$A \rightarrow$ área da seção

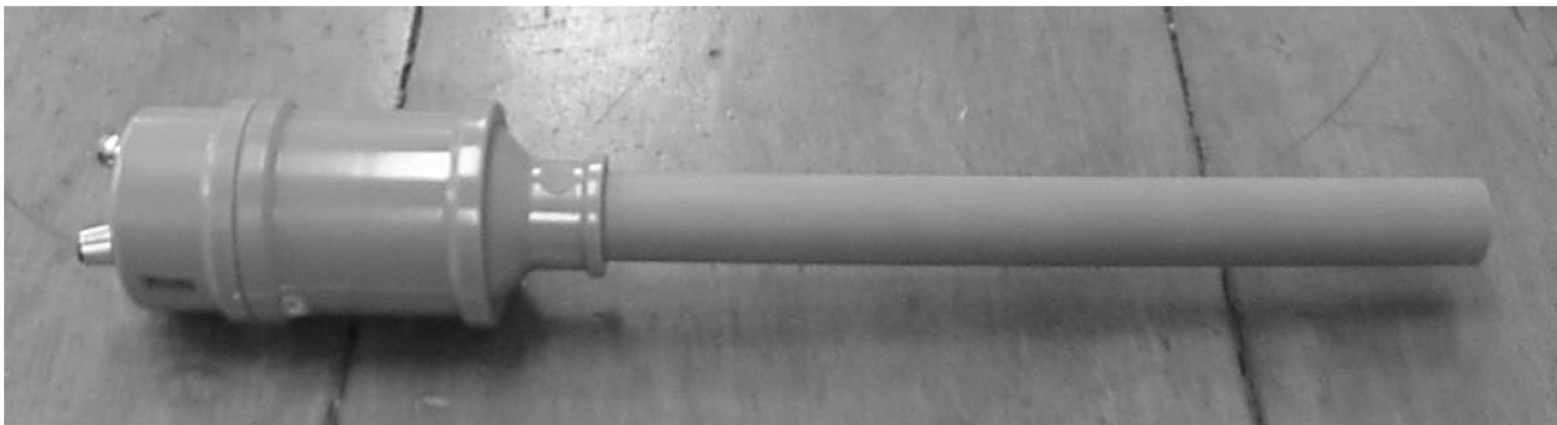
$n \rightarrow$ portadores/volume \rightarrow concentração de portadores

$$V = \frac{iB}{ne(l)}$$

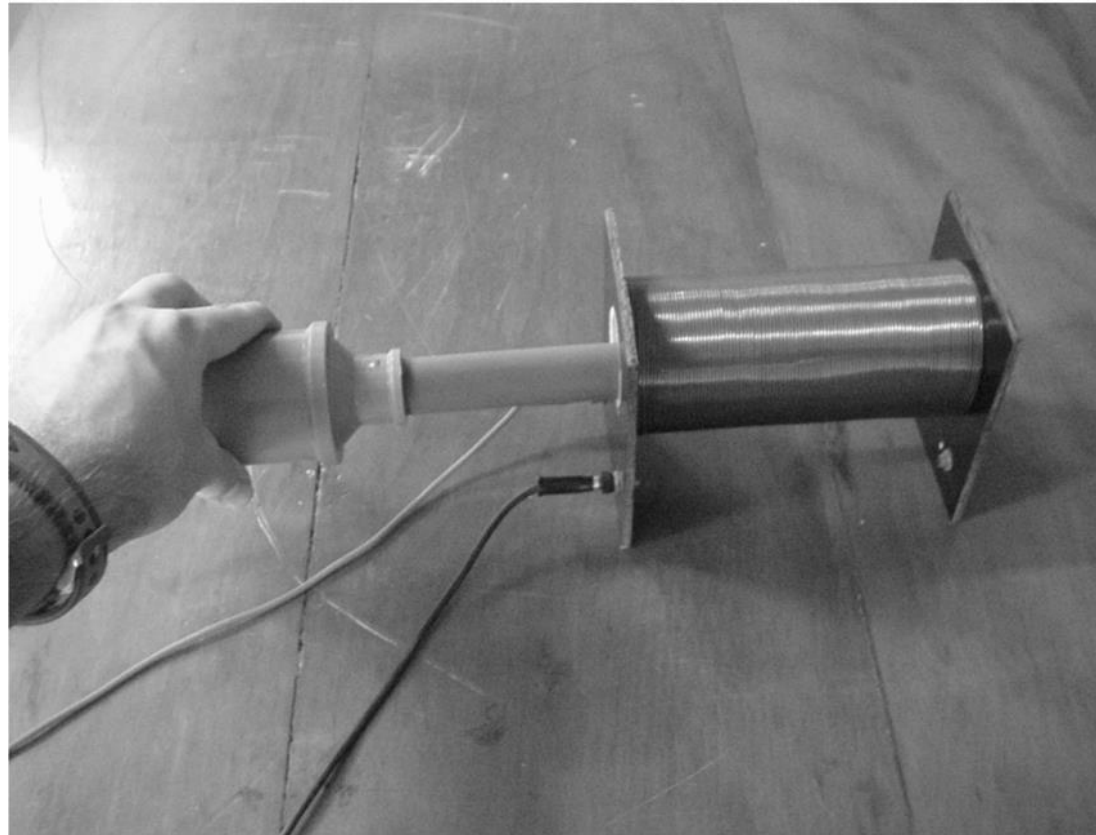
$$E = \frac{i}{neA} B \rightarrow n = \frac{iB}{EeA}$$

$$n = \frac{iB}{Ee(l.d)} \rightarrow n = \frac{iB}{Ve(l)}$$

Sonda Hall



Calibração



Vídeo!

Medida do campo magnético de um fio retilíneo

Animação!